

# Starkniederschlagshöhen und -spenden gemäß KOSTRA-DWD-2020

## Rasterfeld 107179

(Zeile 107, Spalte 179)

### Regenspende und Bemessungsniederschlagswerte in Abhängigkeit von Wiederkehrzeit T und Dauerstufe D

| Dauerstufe D |     | Wiederkehrzeit T |            |      |            |      |            |      |            |      |            |       |            |       |            |       |            |       |            |
|--------------|-----|------------------|------------|------|------------|------|------------|------|------------|------|------------|-------|------------|-------|------------|-------|------------|-------|------------|
|              |     | 1 a              |            | 2 a  |            | 3 a  |            | 5 a  |            | 10 a |            | 20 a  |            | 30 a  |            | 50 a  |            | 100 a |            |
| min          | Std | mm               | l / (s ha) | mm   | l / (s ha) | mm   | l / (s ha) | mm   | l / (s ha) | mm   | l / (s ha) | mm    | l / (s ha) | mm    | l / (s ha) | mm    | l / (s ha) | mm    | l / (s ha) |
| 5            |     | 5,2              | 173,3      | 6,6  | 220,0      | 7,5  | 250,0      | 8,7  | 290,0      | 10,4 | 346,7      | 12,2  | 406,7      | 13,3  | 443,3      | 14,8  | 493,3      | 17,0  | 566,7      |
| 10           |     | 7,5              | 125,0      | 9,6  | 160,0      | 10,9 | 181,7      | 12,6 | 210,0      | 15,0 | 250,0      | 17,6  | 293,3      | 19,2  | 320,0      | 21,4  | 356,7      | 24,5  | 408,3      |
| 15           |     | 8,9              | 98,9       | 11,4 | 126,7      | 13,0 | 144,4      | 15,0 | 166,7      | 17,9 | 198,9      | 20,9  | 232,2      | 22,9  | 254,4      | 25,5  | 283,3      | 29,2  | 324,4      |
| 20           |     | 10,0             | 83,3       | 12,8 | 106,7      | 14,5 | 120,8      | 16,7 | 139,2      | 20,0 | 166,7      | 23,4  | 195,0      | 25,5  | 212,5      | 28,4  | 236,7      | 32,6  | 271,7      |
| 30           |     | 11,5             | 63,9       | 14,6 | 81,1       | 16,6 | 92,2       | 19,2 | 106,7      | 22,9 | 127,2      | 26,8  | 148,9      | 29,3  | 162,8      | 32,6  | 181,1      | 37,4  | 207,8      |
| 45           |     | 12,9             | 47,8       | 16,5 | 61,1       | 18,8 | 69,6       | 21,7 | 80,4       | 25,9 | 95,9       | 30,3  | 112,2      | 33,1  | 122,6      | 36,8  | 136,3      | 42,2  | 156,3      |
| 60           | 1   | 14,0             | 38,9       | 17,9 | 49,7       | 20,3 | 56,4       | 23,5 | 65,3       | 28,0 | 77,8       | 32,8  | 91,1       | 35,8  | 99,4       | 39,9  | 110,8      | 45,7  | 126,9      |
| 90           | 1,5 | 15,5             | 28,7       | 19,9 | 36,9       | 22,5 | 41,7       | 26,1 | 48,3       | 31,1 | 57,6       | 36,3  | 67,2       | 39,8  | 73,7       | 44,3  | 82,0       | 50,7  | 93,9       |
| 120          | 2   | 16,7             | 23,2       | 21,3 | 29,6       | 24,2 | 33,6       | 27,9 | 38,8       | 33,4 | 46,4       | 39,0  | 54,2       | 42,7  | 59,3       | 47,5  | 66,0       | 54,3  | 75,4       |
| 180          | 3   | 18,3             | 16,9       | 23,4 | 21,7       | 26,6 | 24,6       | 30,7 | 28,4       | 36,7 | 34,0       | 42,8  | 39,6       | 46,9  | 43,4       | 52,2  | 48,3       | 59,7  | 55,3       |
| 240          | 4   | 19,5             | 13,5       | 25,0 | 17,4       | 28,3 | 19,7       | 32,8 | 22,8       | 39,1 | 27,2       | 45,7  | 31,7       | 50,0  | 34,7       | 55,7  | 38,7       | 63,7  | 44,2       |
| 360          | 6   | 21,4             | 9,9        | 27,3 | 12,6       | 31,0 | 14,4       | 35,8 | 16,6       | 42,8 | 19,8       | 50,0  | 23,1       | 54,7  | 25,3       | 60,9  | 28,2       | 69,7  | 32,3       |
| 540          | 9   | 23,3             | 7,2        | 29,8 | 9,2        | 33,8 | 10,4       | 39,1 | 12,1       | 46,7 | 14,4       | 54,6  | 16,9       | 59,7  | 18,4       | 66,5  | 20,5       | 76,1  | 23,5       |
| 720          | 12  | 24,8             | 5,7        | 31,7 | 7,3        | 36,0 | 8,3        | 41,6 | 9,6        | 49,7 | 11,5       | 58,1  | 13,4       | 63,5  | 14,7       | 70,7  | 16,4       | 80,9  | 18,7       |
| 1080         | 18  | 27,0             | 4,2        | 34,6 | 5,3        | 39,2 | 6,0        | 45,3 | 7,0        | 54,2 | 8,4        | 63,3  | 9,8        | 69,2  | 10,7       | 77,0  | 11,9       | 88,2  | 13,6       |
| 1440         | 24  | 28,7             | 3,3        | 36,7 | 4,2        | 41,7 | 4,8        | 48,2 | 5,6        | 57,6 | 6,7        | 67,2  | 7,8        | 73,5  | 8,5        | 81,8  | 9,5        | 93,7  | 10,8       |
| 2880         | 48  | 33,2             | 1,9        | 42,5 | 2,5        | 48,2 | 2,8        | 55,7 | 3,2        | 66,6 | 3,9        | 77,7  | 4,5        | 85,1  | 4,9        | 94,6  | 5,5        | 108,4 | 6,3        |
| 4320         | 72  | 36,2             | 1,4        | 46,2 | 1,8        | 52,5 | 2,0        | 60,6 | 2,3        | 72,4 | 2,8        | 84,6  | 3,3        | 92,6  | 3,6        | 103,0 | 4,0        | 118,0 | 4,6        |
| 5760         | 96  | 38,4             | 1,1        | 49,1 | 1,4        | 55,7 | 1,6        | 64,4 | 1,9        | 76,9 | 2,2        | 89,8  | 2,6        | 98,3  | 2,8        | 109,4 | 3,2        | 125,2 | 3,6        |
| 7200         | 120 | 40,2             | 0,9        | 51,4 | 1,2        | 58,4 | 1,4        | 67,5 | 1,6        | 80,6 | 1,9        | 94,1  | 2,2        | 103,0 | 2,4        | 114,6 | 2,7        | 131,2 | 3,0        |
| 8640         | 144 | 41,8             | 0,8        | 53,4 | 1,0        | 60,6 | 1,2        | 70,1 | 1,4        | 83,7 | 1,6        | 97,7  | 1,9        | 107,0 | 2,1        | 119,0 | 2,3        | 136,3 | 2,6        |
| 10080        | 168 | 43,1             | 0,7        | 55,2 | 0,9        | 62,6 | 1,0        | 72,4 | 1,2        | 86,4 | 1,4        | 100,9 | 1,7        | 110,4 | 1,8        | 122,9 | 2,0        | 140,7 | 2,3        |

# Starkniederschlagshöhen und -spenden gemäß KOSTRA-DWD-2020

## Rasterfeld 107179

(Zeile 107, Spalte 179)

### Örtliche Unsicherheiten in Abhängigkeit von Wiederkehrzeit T und Dauerstufe D

| Dauerstufe D |     | Wiederkehrzeit T |     |     |     |      |      |      |      |       |
|--------------|-----|------------------|-----|-----|-----|------|------|------|------|-------|
|              |     | 1 a              | 2 a | 3 a | 5 a | 10 a | 20 a | 30 a | 50 a | 100 a |
| min          | Std | ± %              | ± % | ± % | ± % | ± %  | ± %  | ± %  | ± %  | ± %   |
| 5            |     | 19               | 17  | 16  | 16  | 15   | 15   | 15   | 15   | 15    |
| 10           |     | 12               | 12  | 12  | 12  | 13   | 14   | 14   | 15   | 15    |
| 15           |     | 11               | 13  | 13  | 14  | 16   | 17   | 17   | 18   | 18    |
| 20           |     | 12               | 14  | 15  | 16  | 18   | 19   | 19   | 20   | 20    |
| 30           |     | 13               | 16  | 17  | 18  | 20   | 21   | 21   | 22   | 23    |
| 45           |     | 15               | 17  | 18  | 20  | 21   | 22   | 23   | 24   | 24    |
| 60           | 1   | 15               | 18  | 19  | 20  | 22   | 23   | 24   | 24   | 25    |
| 90           | 1,5 | 15               | 18  | 19  | 21  | 22   | 23   | 24   | 25   | 25    |
| 120          | 2   | 15               | 18  | 19  | 21  | 22   | 23   | 24   | 25   | 25    |
| 180          | 3   | 15               | 18  | 19  | 20  | 22   | 23   | 24   | 24   | 25    |
| 240          | 4   | 15               | 17  | 19  | 20  | 21   | 23   | 23   | 24   | 24    |
| 360          | 6   | 14               | 17  | 18  | 19  | 21   | 22   | 22   | 23   | 24    |
| 540          | 9   | 14               | 16  | 17  | 19  | 20   | 21   | 22   | 22   | 23    |
| 720          | 12  | 14               | 16  | 17  | 18  | 20   | 21   | 21   | 22   | 22    |
| 1080         | 18  | 14               | 16  | 17  | 18  | 19   | 20   | 20   | 21   | 22    |
| 1440         | 24  | 14               | 16  | 17  | 18  | 19   | 20   | 20   | 21   | 21    |
| 2880         | 48  | 16               | 16  | 17  | 18  | 18   | 19   | 20   | 20   | 21    |
| 4320         | 72  | 17               | 17  | 17  | 18  | 19   | 19   | 20   | 20   | 20    |
| 5760         | 96  | 18               | 18  | 18  | 18  | 19   | 19   | 20   | 20   | 20    |
| 7200         | 120 | 18               | 18  | 18  | 19  | 19   | 20   | 20   | 20   | 21    |
| 8640         | 144 | 19               | 19  | 19  | 19  | 19   | 20   | 20   | 20   | 21    |
| 10080        | 168 | 20               | 19  | 19  | 19  | 20   | 20   | 20   | 21   | 21    |

### Parameter für abweichende T und D

#### Lokationsparameter $\xi$ (Xi)

14,8977831

#### Skalenparameter $\alpha$ (Alpha)

5,76243373

#### Formparameter $\kappa$ (Kappa)

-0,1

#### 1. Koutsoyiannis-Parameter $\theta$ (Theta)

0,08057467

#### 2. Koutsoyiannis-Parameter $\eta$ (Eta)

0,79225375

Parameter für dauerstufenübergreifende Extremwertschätzung nach KOUTSOYIANNIS et al. 1998.

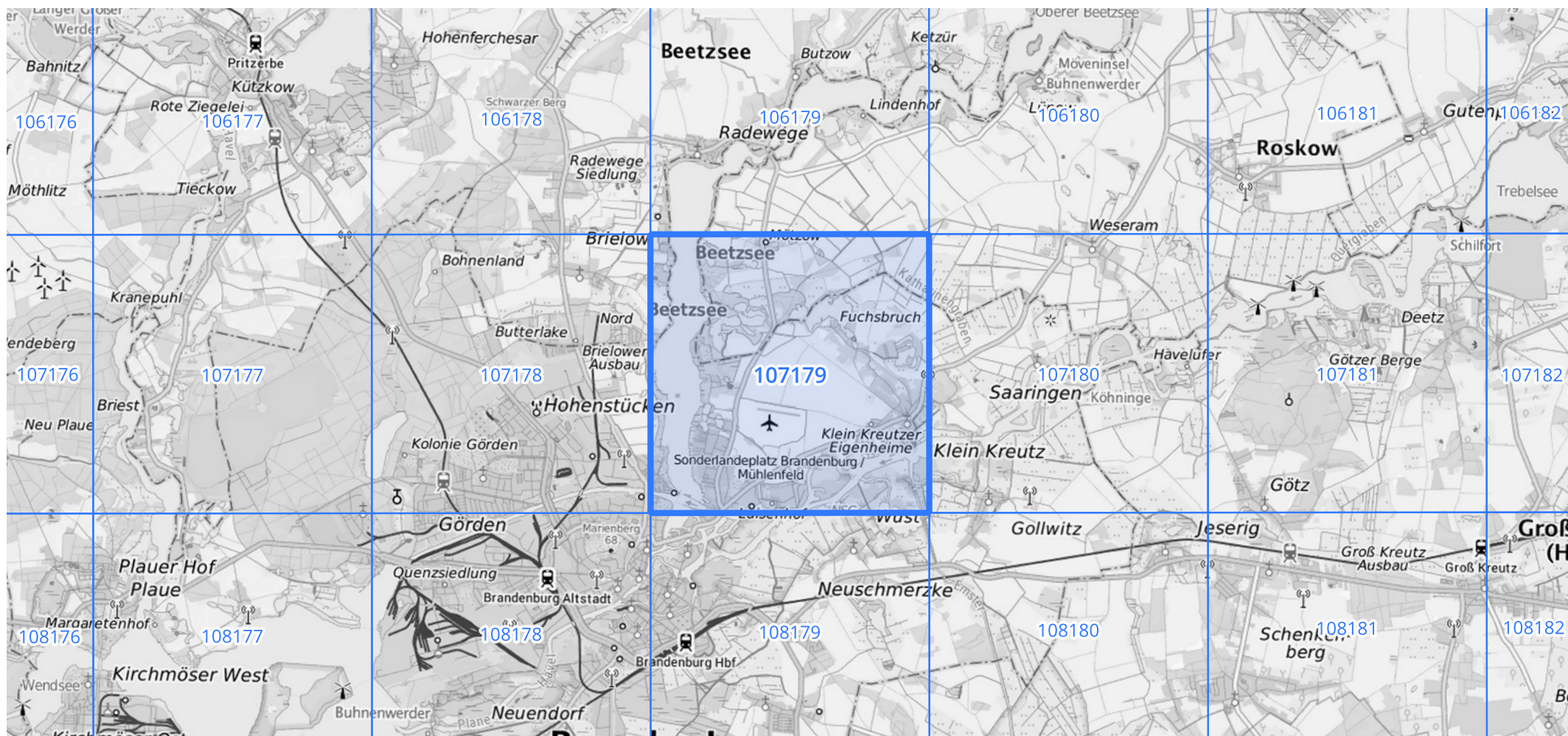
Siehe auch Anwendungshilfe zu KOSTRA-DWD-2020 des Deutschen Wetterdienstes.

## Starkniederschlagshöhen und -spenden gemäß KOSTRA-DWD-2020

## Rasterfeld 107179

(Zeile 107, Spalte 179)

## Übersichtskarte des Rasterfeldes 107179, M 1 : 100 000



Quelle Rasterdaten: KOSTRA-DWD-2020 des Deutschen Wetterdienstes, Stand 12/2022.

Seite 3 von 3

Kartendarstellung: © Bundesamt für Kartographie und Geodäsie (2023), Datenquellen: [https://sgx.geodatenzentrum.de/web\\_public/gdz/datenquellen/Datenquellen\\_TopPlusOpen.html](https://sgx.geodatenzentrum.de/web_public/gdz/datenquellen/Datenquellen_TopPlusOpen.html)

Für die Richtigkeit und Aktualität der Angaben wird keine Gewähr übernommen. Erstellt 01/2023.